

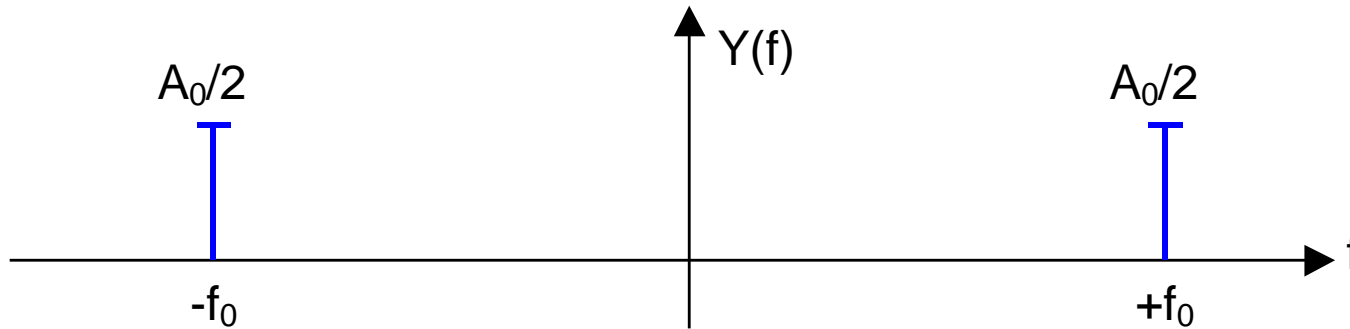
# Modulation

---

Prof. Dr. Andreas Steffen

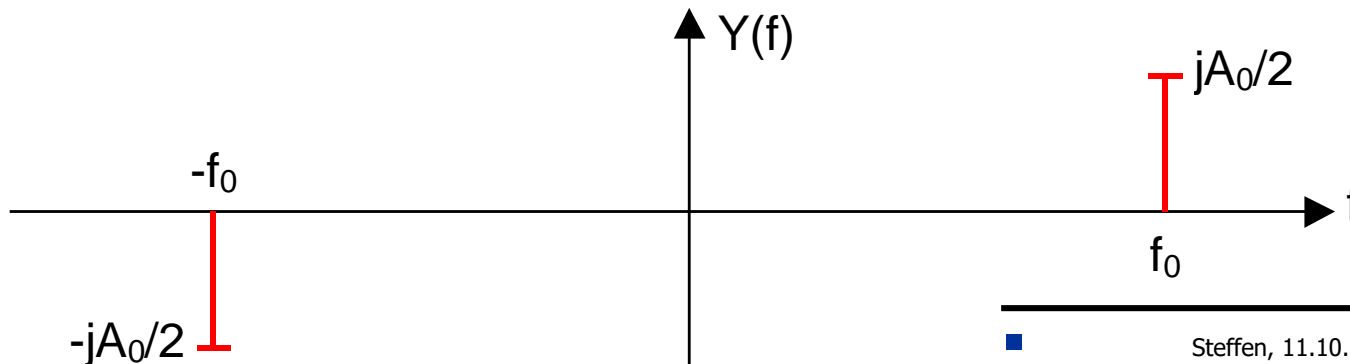
- Kapitel 4 Modulationsarten (Seiten 1-2)
  - Unterkapitel 4.1 Modulation eines Trägersignals
- Kapitel 4 Modulationsarten (Seiten 2-7)
  - Unterkapitel 4.2 Amplitudenmodulation von
  - Abschnitt 4.2.1 Frequenztranslation durch Mischung bis und mit
  - Abschnitt 4.2.2 Kohärente AM-Demodulation
- Kapitel 4 Modulationsarten (Seiten 10-19)
  - Unterkapitel 4.3 Digitale Modulationsverfahren von
  - Abschnitt 4.3.1 Übersicht bis und mit
  - Abschnitt 4.3.8 Mehrstufige Quadratur-Amplitudenmodulation

# Zweiseitiges Spektrum eines Trägersignals



$$y(t) = A_0 \cos(2\pi f_0 t) = A_0 \frac{e^{j2\pi f_0 t} + e^{-j2\pi f_0 t}}{2} = \frac{A_0}{2} e^{j2\pi f_0 t} + \frac{A_0}{2} e^{-j2\pi f_0 t}$$

$$y(t) = -A_0 \sin(2\pi f_0 t) = -A_0 \frac{e^{j2\pi f_0 t} - e^{-j2\pi f_0 t}}{2j} = j \frac{A_0}{2} e^{j2\pi f_0 t} - j \frac{A_0}{2} e^{-j2\pi f_0 t}$$



# Modulation eines Trägersignals

$$y(t) = a(t) \cos[2\pi f_0 t + \varphi(t)]$$

$$a(t) = f[s(t)] \quad \text{und} \quad \varphi(t) = \varphi_0$$

Amplitudenmodulation

$$a(t) = A_0 \quad \text{und} \quad \varphi(t) = f[s(t)]$$

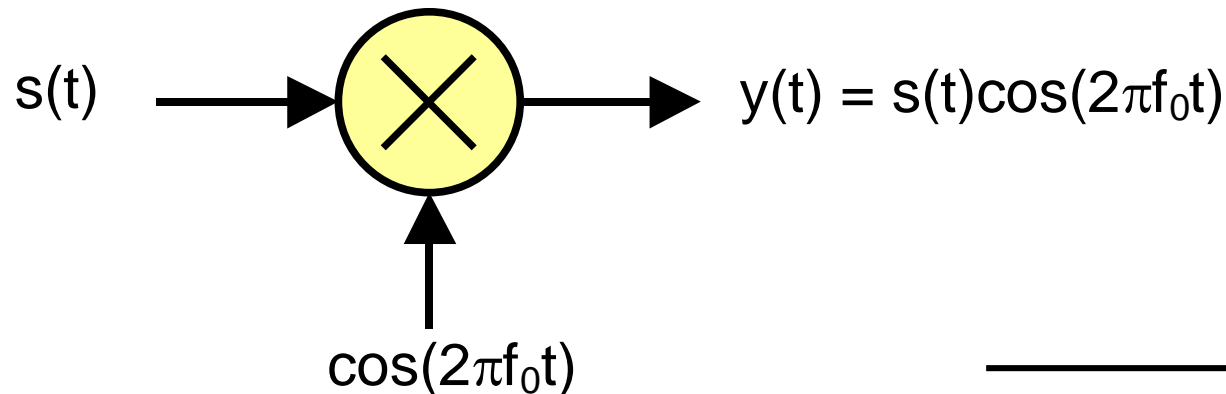
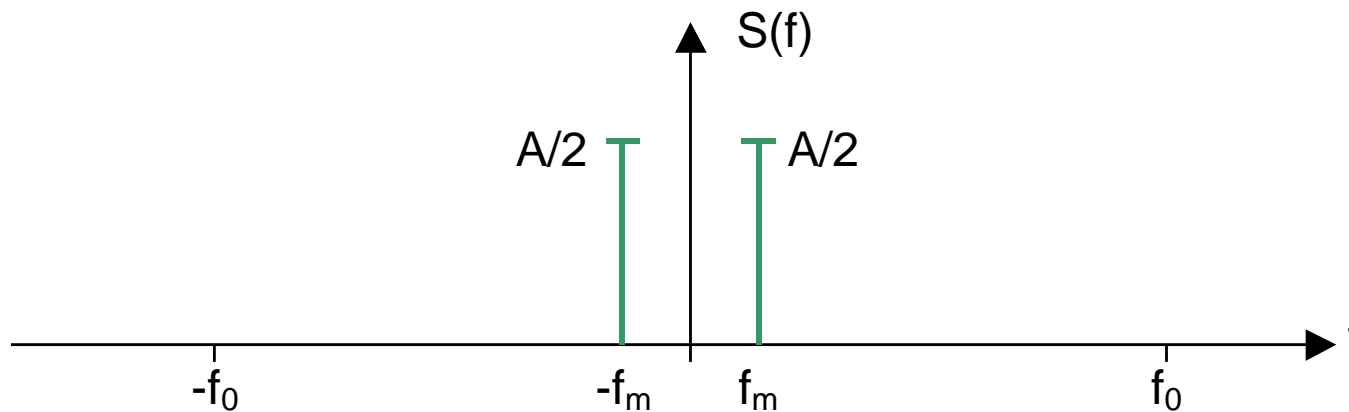
Winkelmodulation\*

*\* Phasen- oder Frequenzmodulation*

# Amplitudenmodulation I

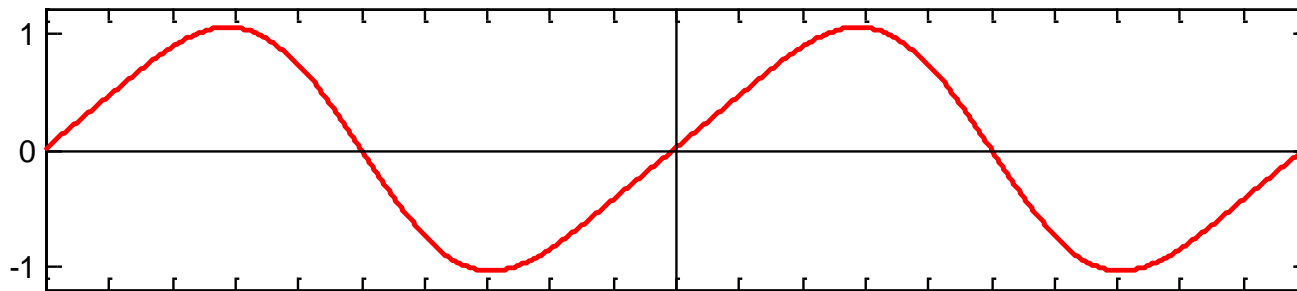
$$s(t) = A \cos(2\pi f_m t)$$

$$f_m \ll f_0$$

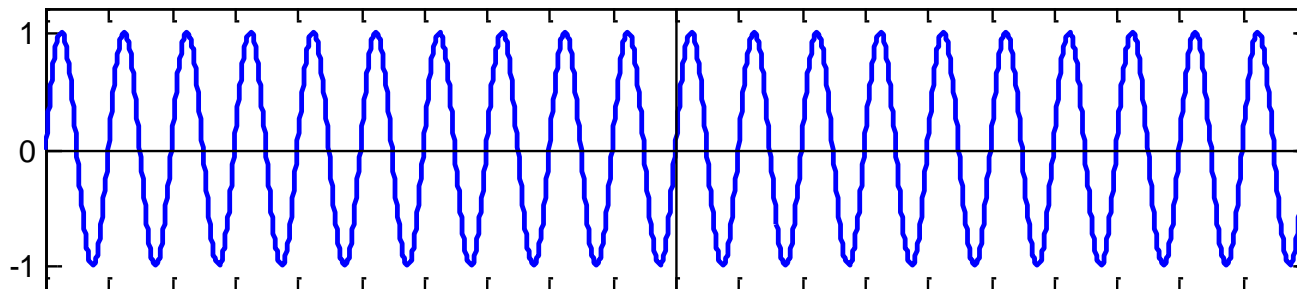


# Beispiel einer Amplitudenmodulation

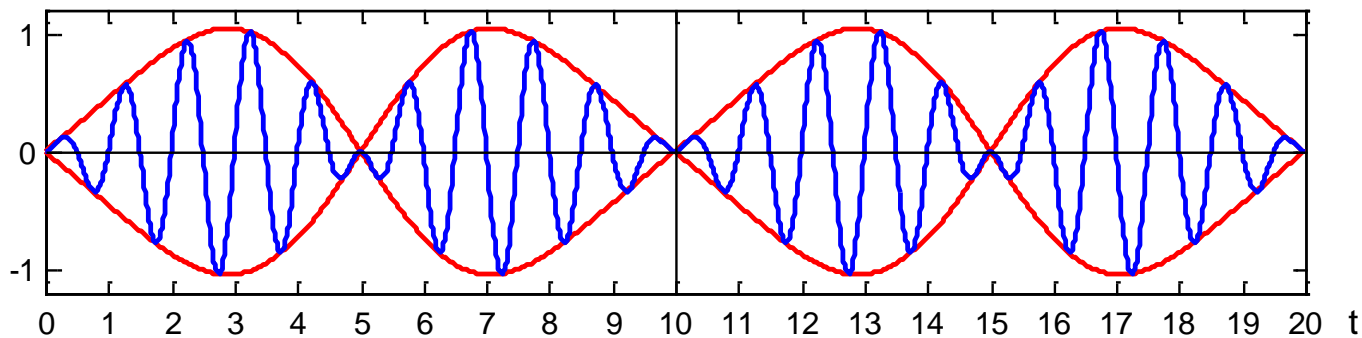
Basisbandsignal  $s(t)$



Trägersignal  $y(t) = \sin(2\pi f_0 t)$

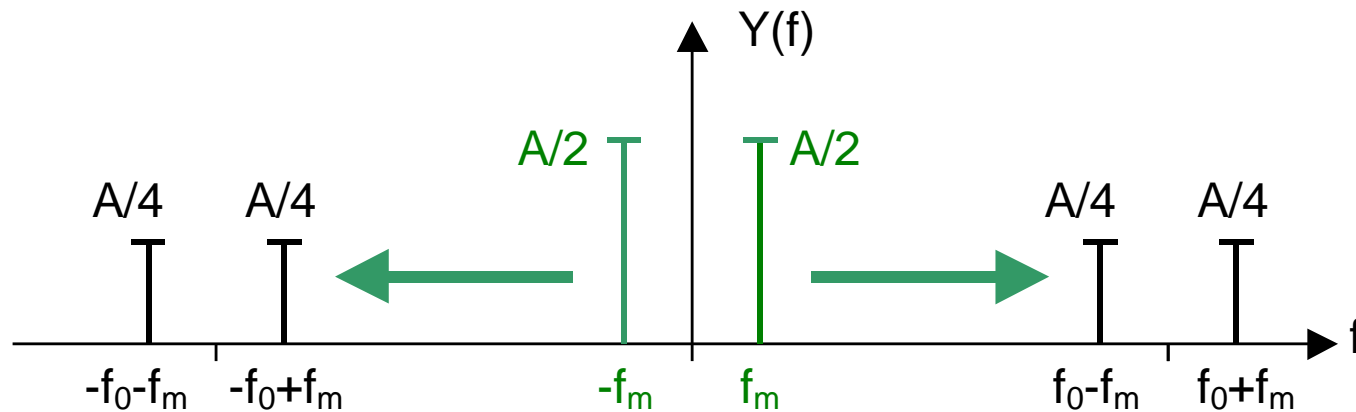


Zweiseitenbandsignal  $y(t) = s(t) \cdot \sin(2\pi f_0 t)$



$$y(t) = s(t) \cos(2\pi f_0 t) = \frac{A}{2} \left( e^{j2\pi f_m t} + e^{-j2\pi f_m t} \right) \frac{1}{2} \left( e^{j2\pi f_0 t} + e^{-j2\pi f_0 t} \right)$$

$$y(t) = \frac{A}{4} \left( e^{-j2\pi(f_0+f_m)t} + e^{-j2\pi(f_0-f_m)t} + e^{j2\pi(f_0-f_m)t} + e^{j2\pi(f_0+f_m)t} \right)$$



$$Y(f) = \frac{1}{2} S(f - f_0) + \frac{1}{2} S(f + f_0)$$

Vermutung!

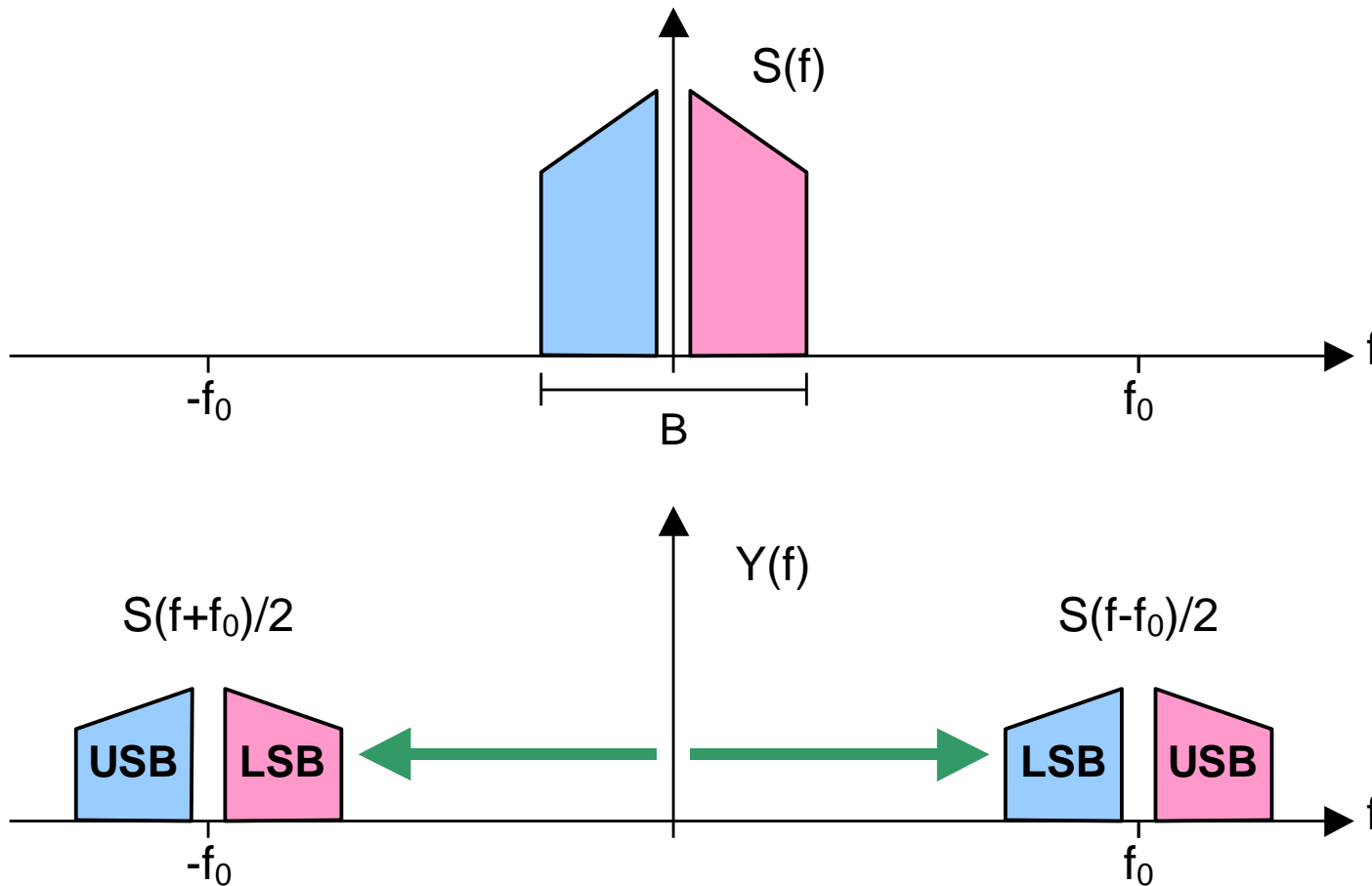
$$Y(f) = \int_{-\infty}^{\infty} y(t) e^{-j2\pi ft} dt = \int_{-\infty}^{\infty} s(t) \cos(2\pi f_0 t) e^{-j2\pi ft} dt$$

$$Y(f) = \frac{1}{2} \int_{-\infty}^{\infty} s(t) e^{j2\pi f_0 t} e^{-j2\pi ft} dt + \frac{1}{2} \int_{-\infty}^{\infty} s(t) e^{-j2\pi f_0 t} e^{-j2\pi ft} dt$$

$$Y(f) = \underbrace{\frac{1}{2} \int_{-\infty}^{\infty} s(t) e^{-j2\pi(f-f_0)t} dt}_{S(f-f_0)} + \underbrace{\frac{1}{2} \int_{-\infty}^{\infty} s(t) e^{-j2\pi(f+f_0)t} dt}_{S(f+f_0)}$$



# Oberes und Unterer Seitenband



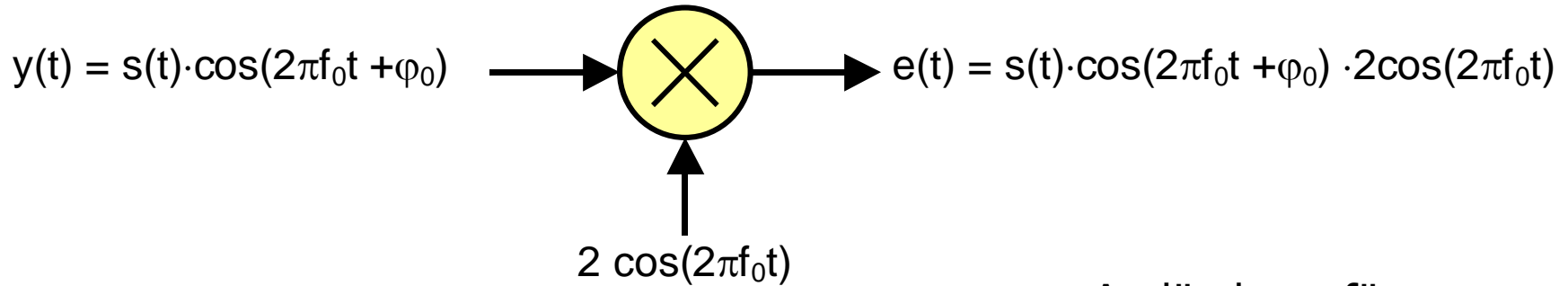
LSB: Lower Side Band

USB: Upper Side Band

Doppelter Bandbreitenbedarf:

$B/2 \rightarrow B$

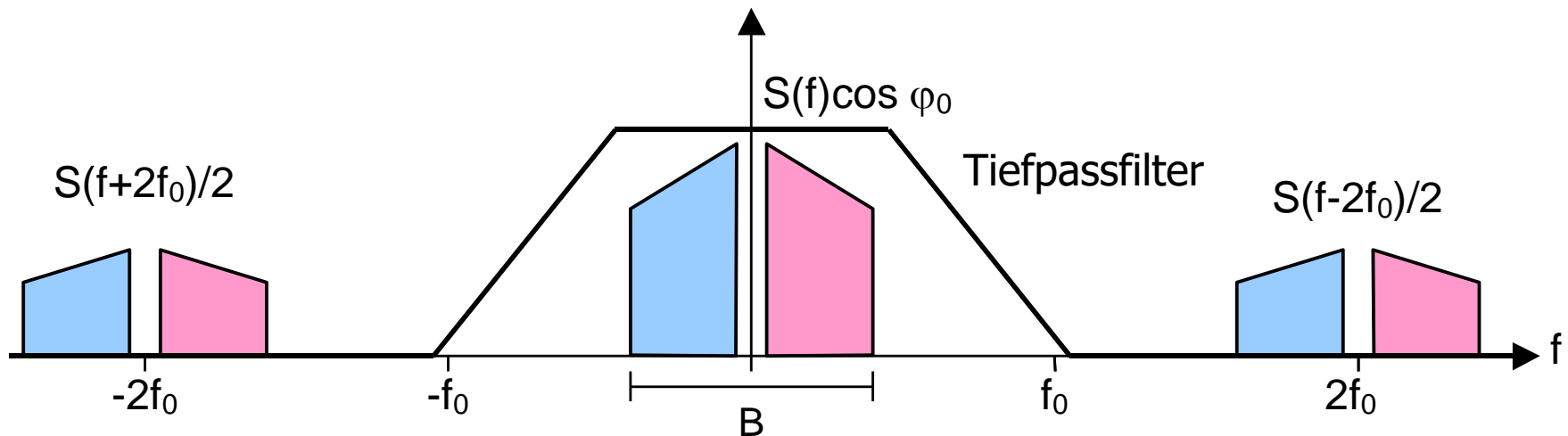
# Kohärenter Produktdemodulator



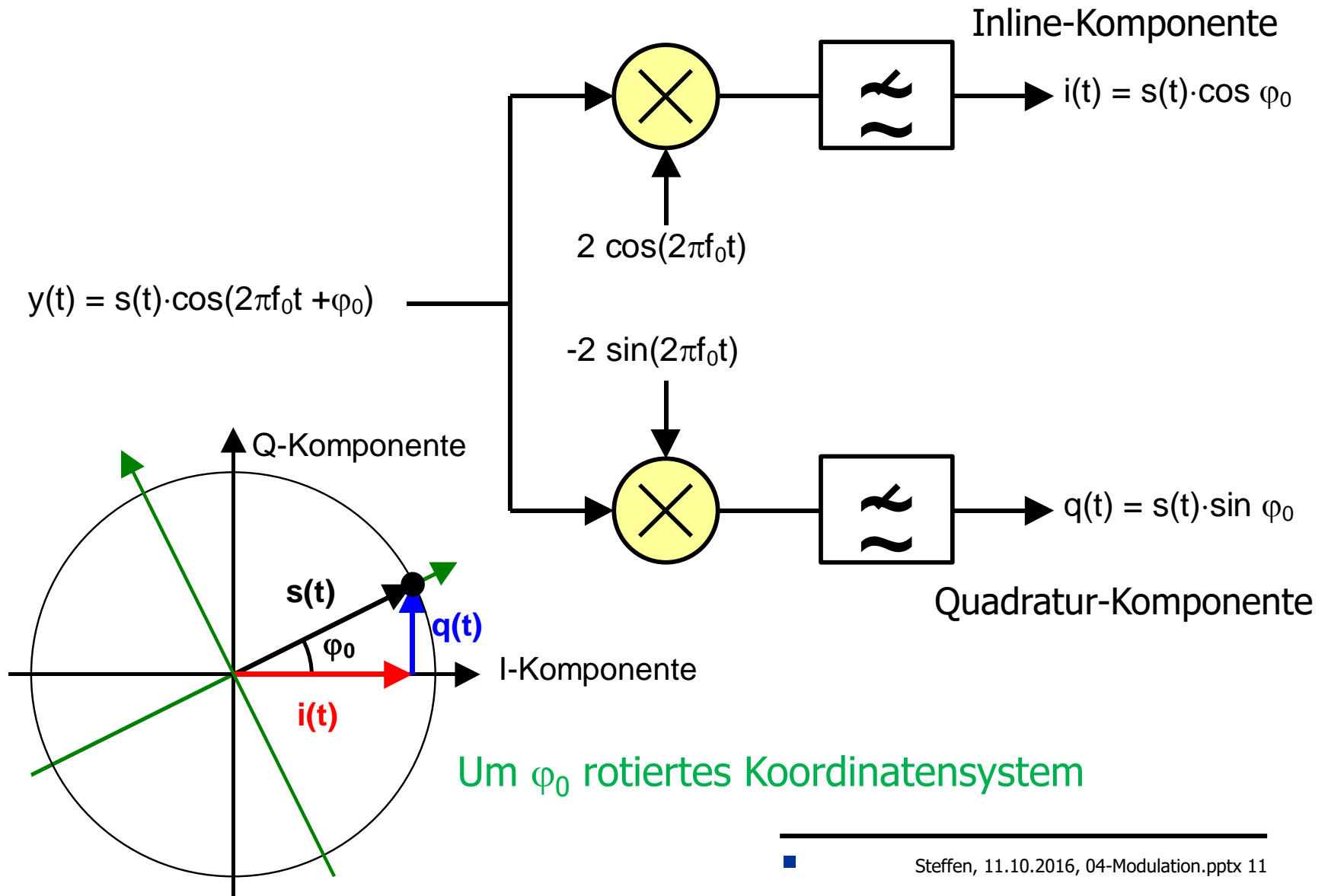
$$e(t) = s(t) \cos \varphi_0 + s(t) \cos(4\pi f_0 t + \varphi_0)$$

Auslöschung für

$$\varphi_0 = \pm \frac{\pi}{2}$$



# Quadratur-Demodulation

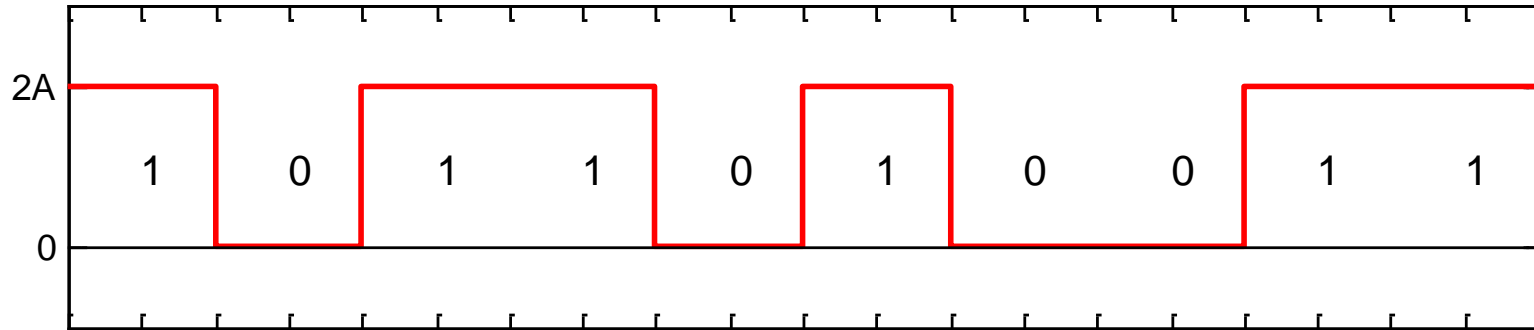


# Digitale Modulationsverfahren

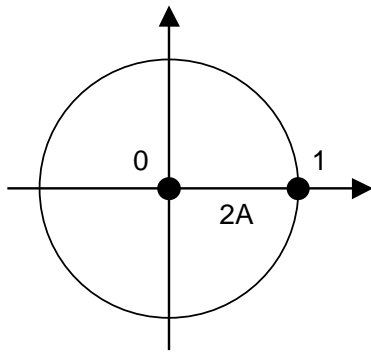
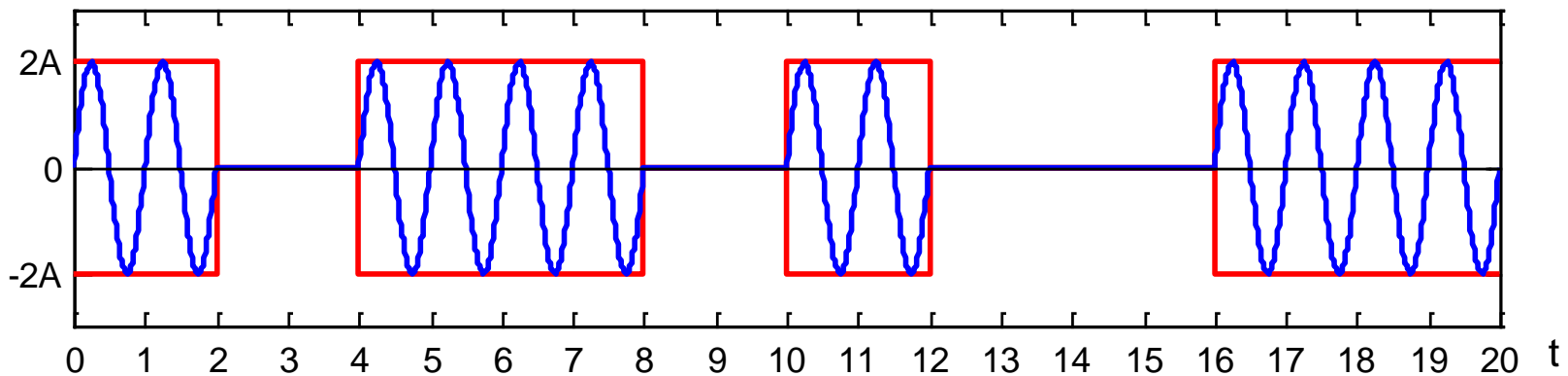
---

# Amplitudenumtastung (ASK)

Modulationssignal:  $a(t) = A[1 + s(t)]$



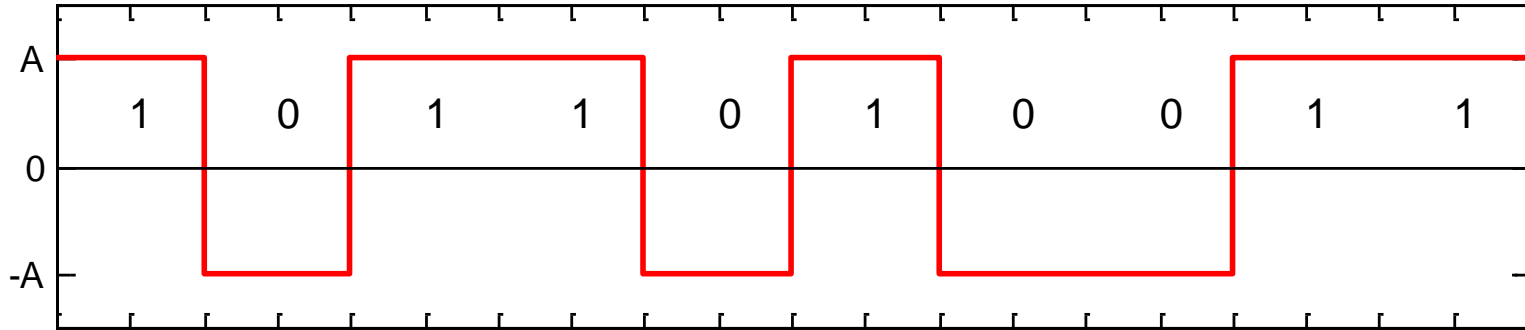
ASK-Signal:  $y(t) = a(t) \cdot \sin(2\pi f_0 t)$



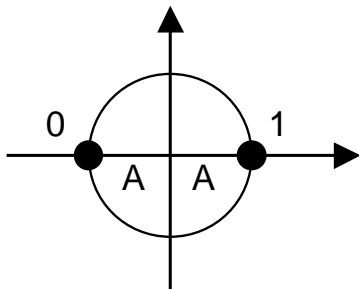
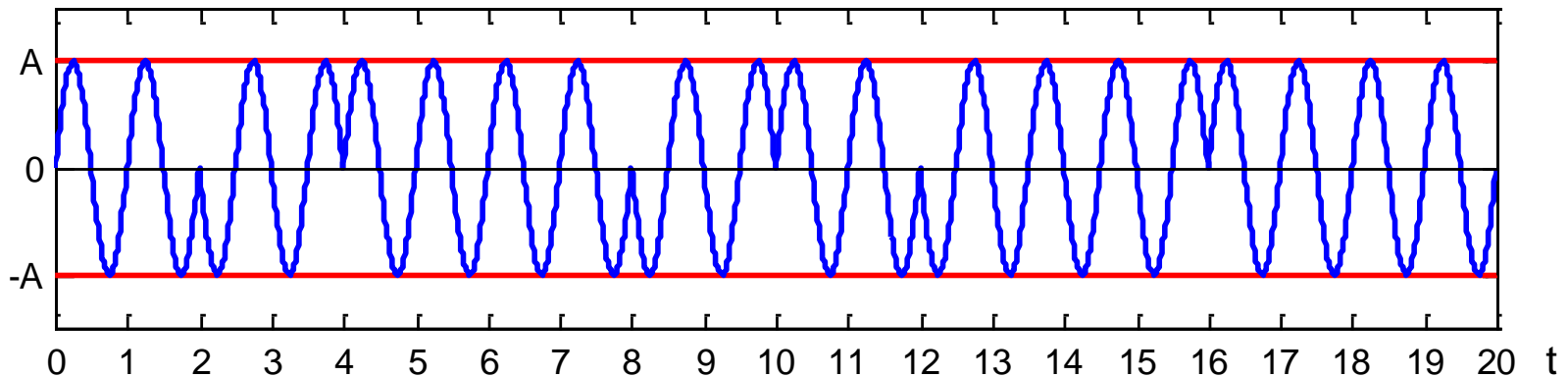
$$S = \frac{1}{2}(0 + 4A^2) = 2A^2$$

# Phasenumtastung (PSK)

Modulationssignal:  $a(t) = A \cdot s(t)$



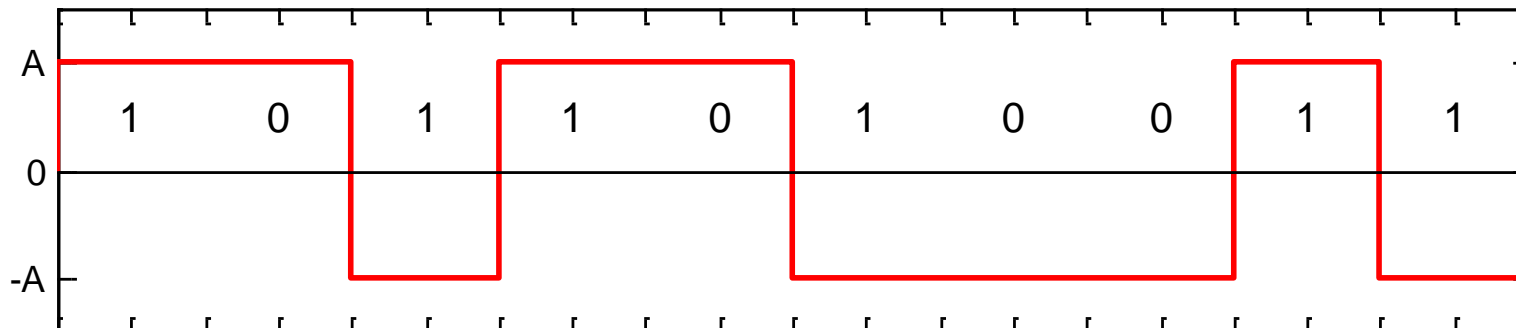
PSK-Signal:  $y(t) = a(t) \cdot \sin(2\pi f_0 t) = A \cdot \sin(2\pi f_0 t + \phi(t))$



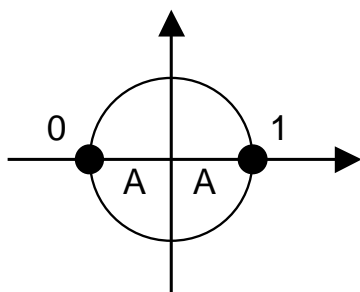
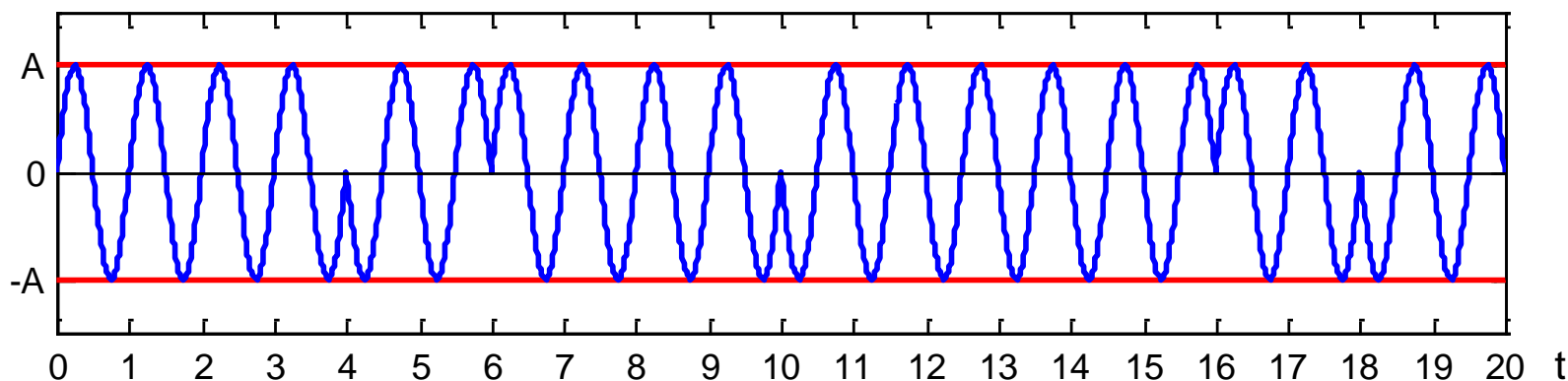
$$S = A^2$$

# Differentielle Phasenumtastung (DPSK)

Differentielles Modulationssignal:  $a(t) = A \cdot s'(t)$



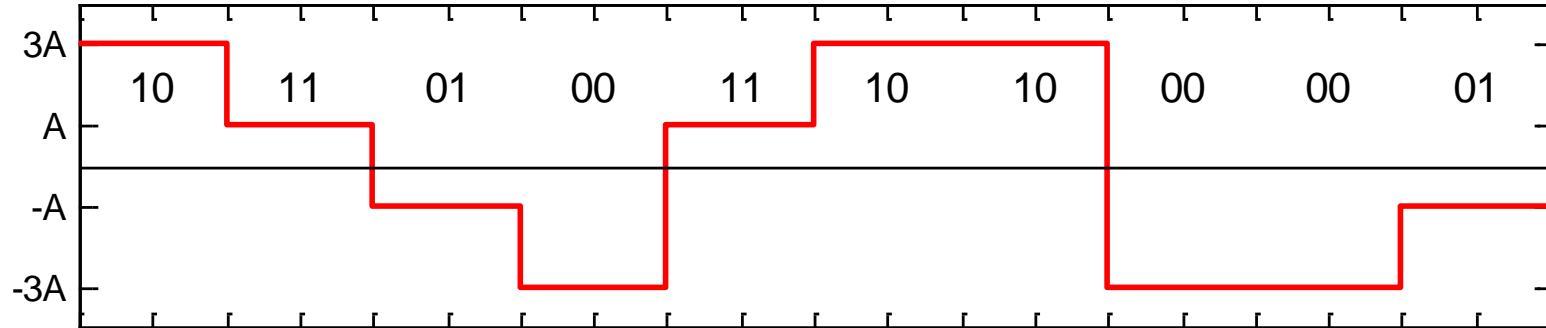
DPSK-Signal:  $y(t) = a(t) \cdot \sin(2\pi f_0 t) = A \cdot \sin(2\pi f_0 t + \phi(t))$



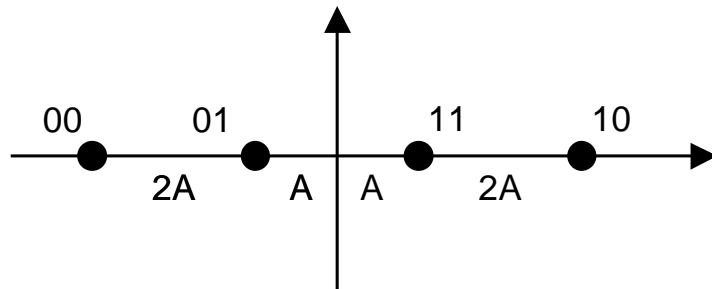
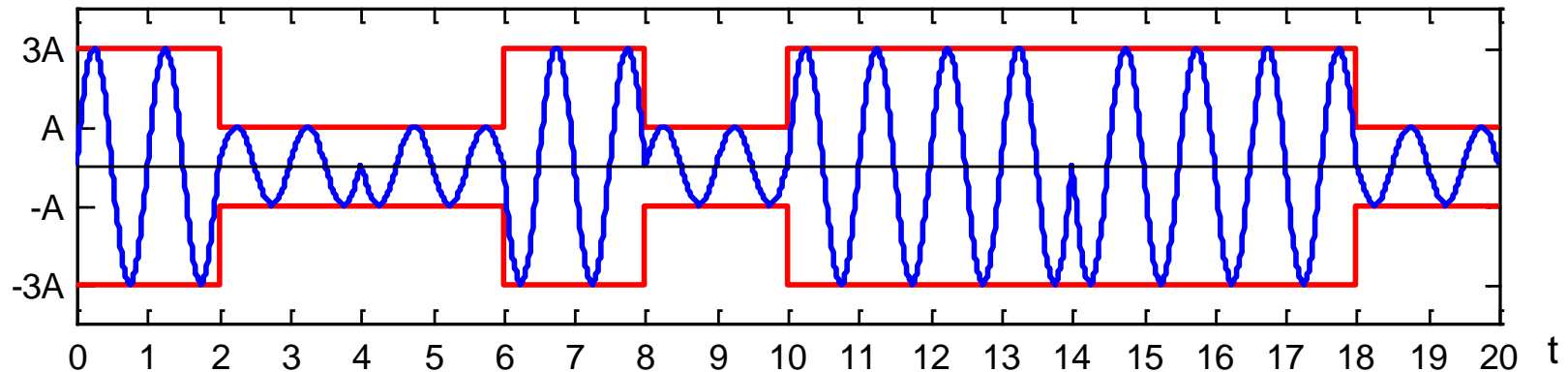
$$S = A^2$$

# Mehrstufige Amplitudenumtastung (PAM)

2B1Q-Modulationssignal:  $a(t) = A \cdot s(t)$



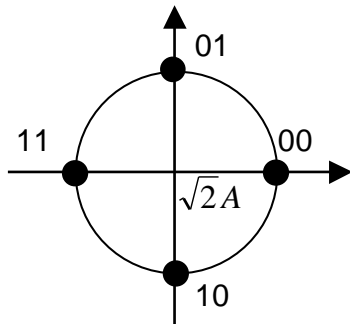
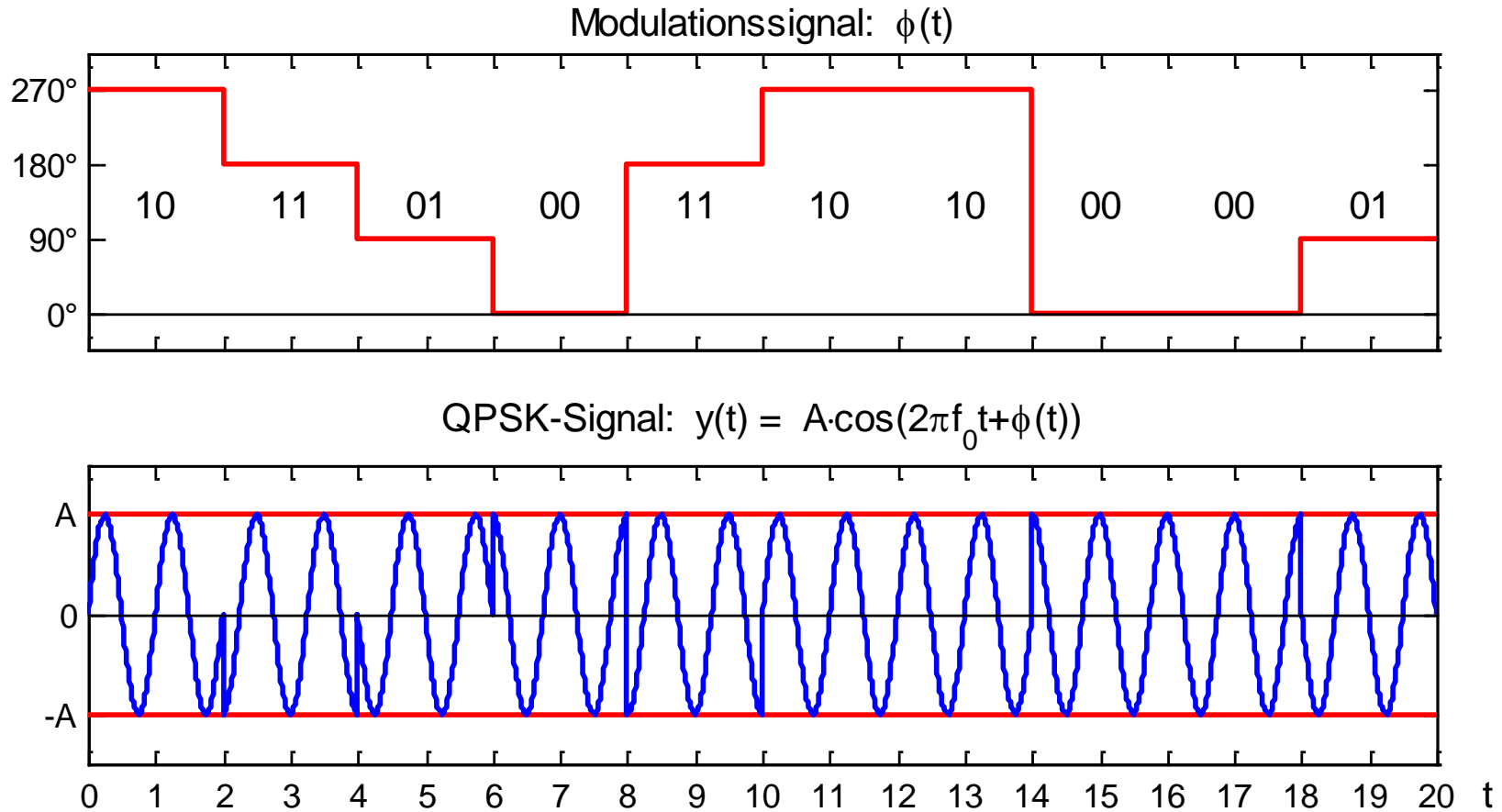
PAM-Signal:  $y(t) = a(t) \cdot \sin(2\pi f_0 t)$



$$S = \frac{1}{2} (A^2 + 9A^2) = 5A^2$$

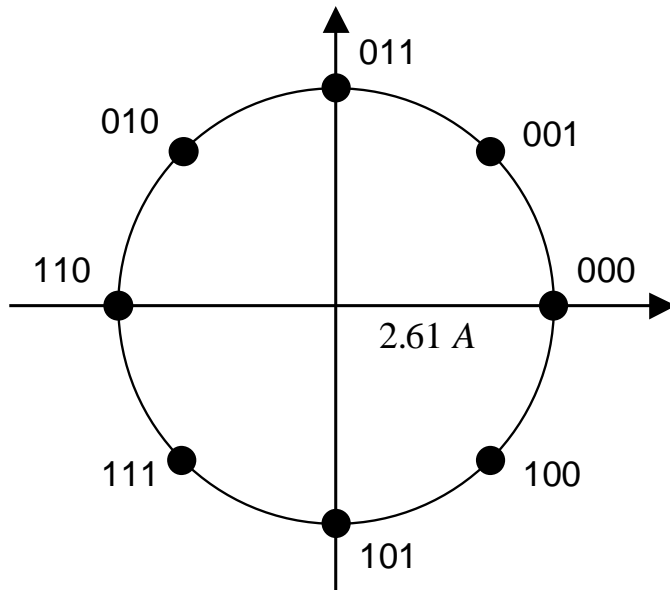


# Mehrstufige Phasenumtastung (QPSK)



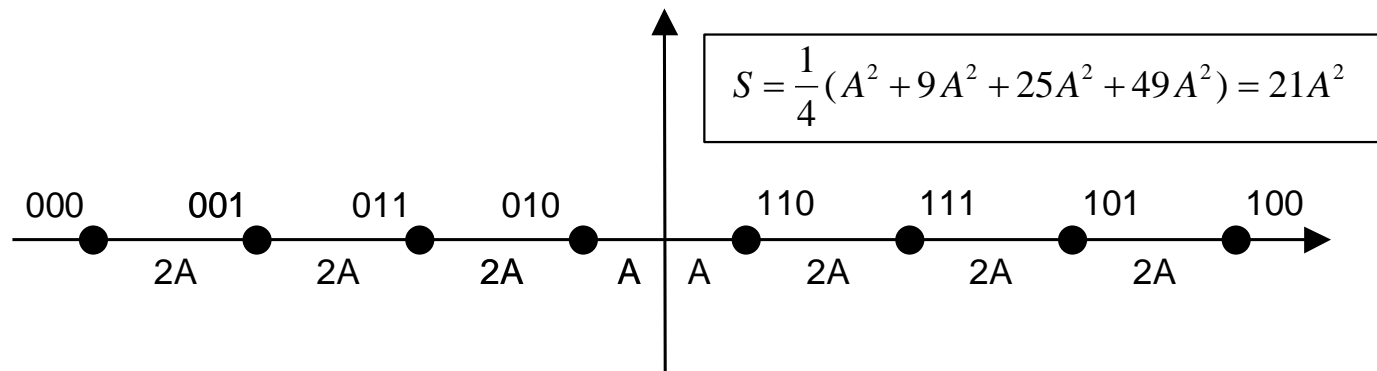
$$S = 2A^2$$

# Leistungsbilanz: PSK versus PAM



$$S = 6.83 A^2$$

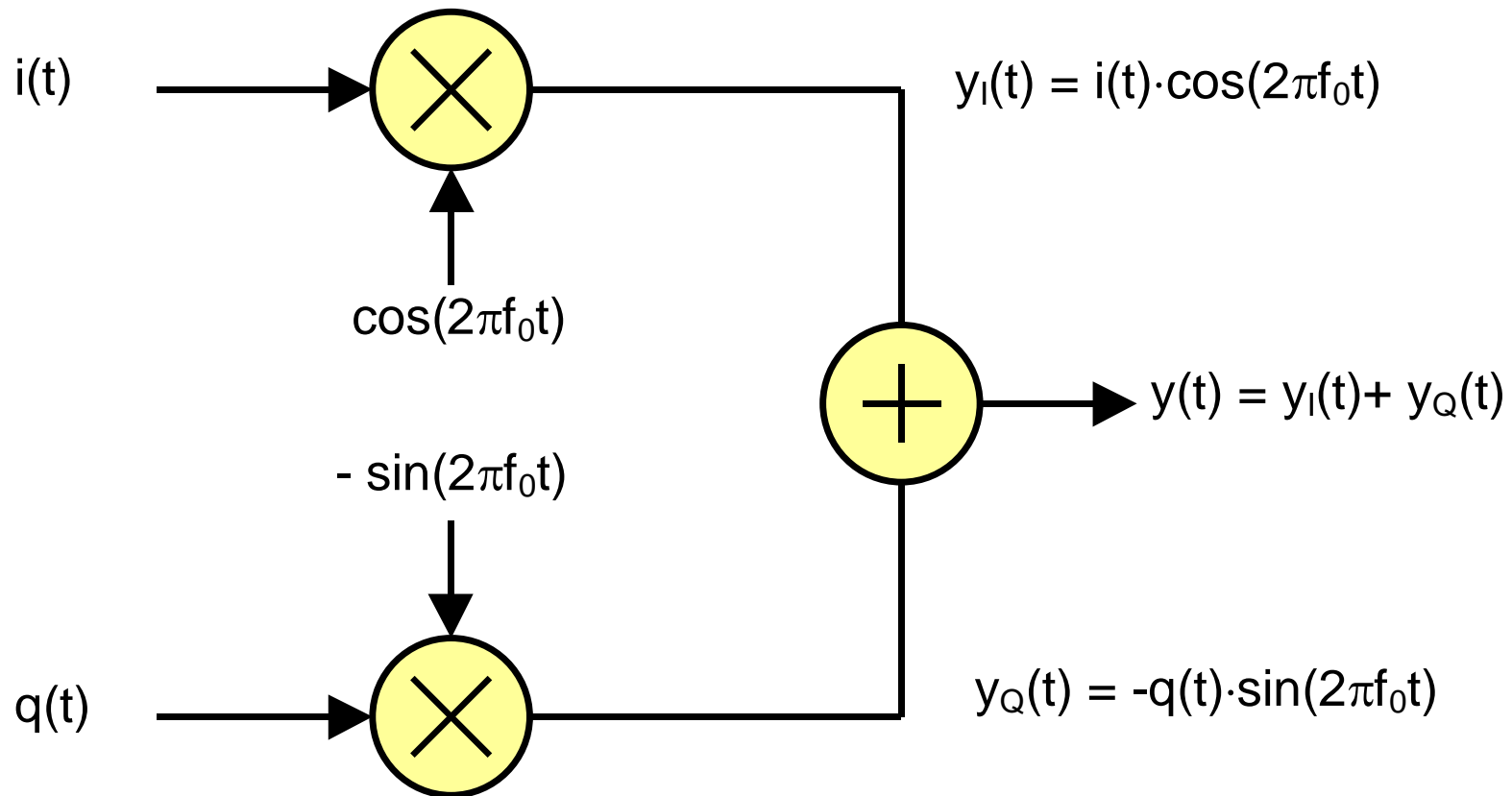
**Grey-Code:**  
**Robustheit gegen Bitfehler**



$$S = \frac{1}{4} (A^2 + 9A^2 + 25A^2 + 49A^2) = 21A^2$$

# Quadratur-Amplitudenmodulation (QAM)

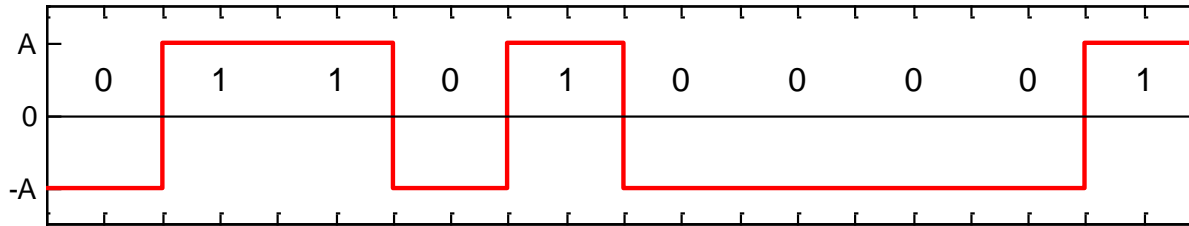
## Inline-Komponente



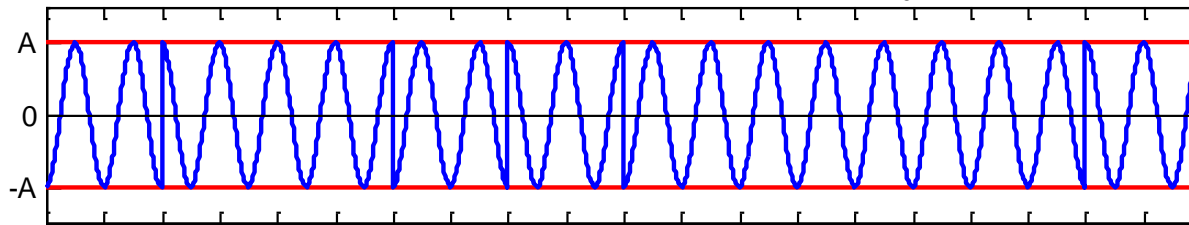
## Quadratur-Komponente

# QAM: Inline- und Quadratur-Komponenten

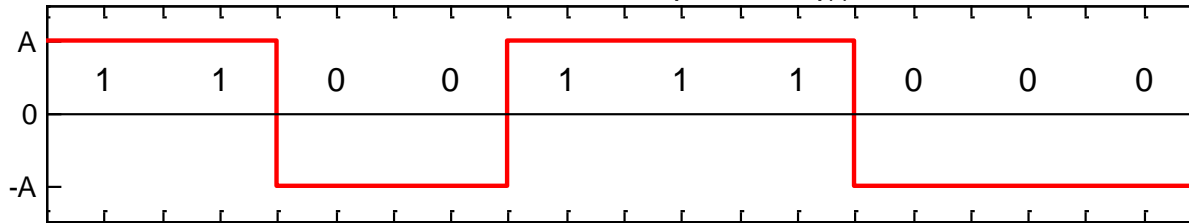
Basisband: I-Komponente  $i(t)$



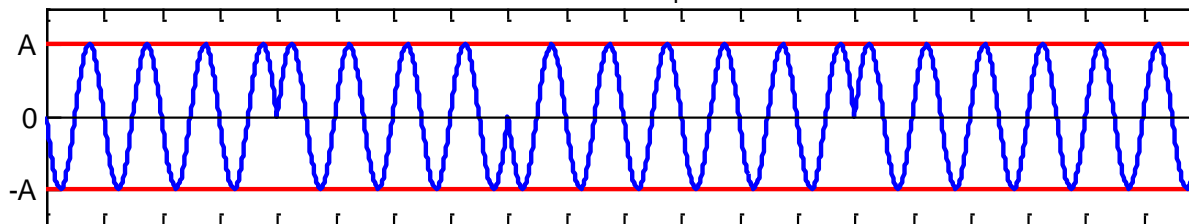
Träger: I-Komponente  $y_i(t) = i(t) \cdot \cos(2\pi f_0 t)$



Basisband: Q-Komponente  $q(t)$



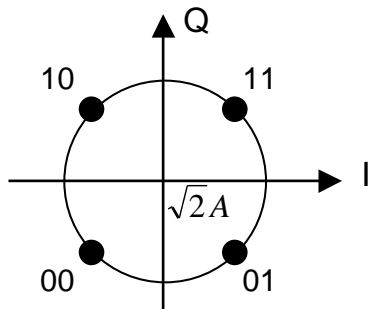
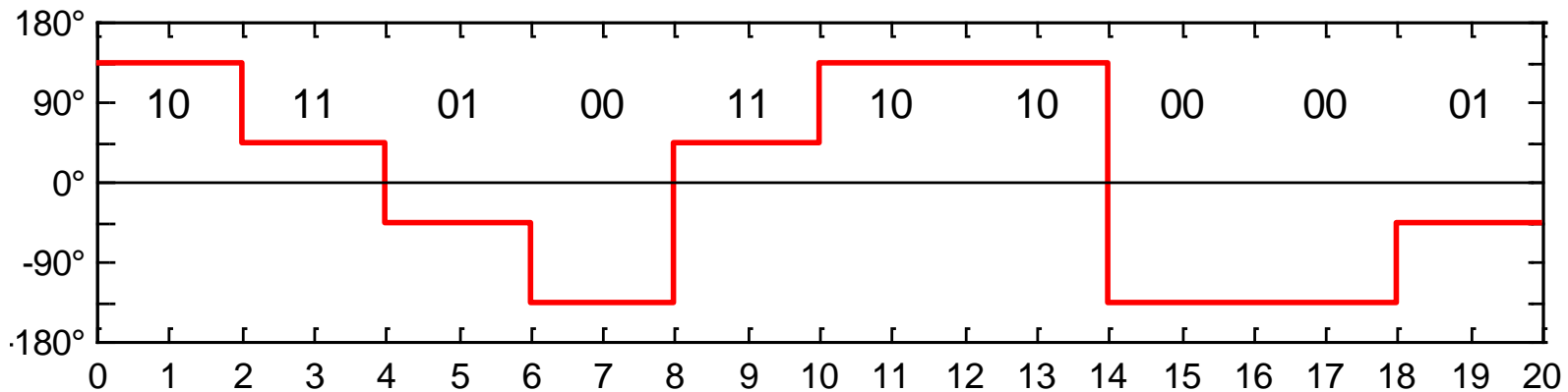
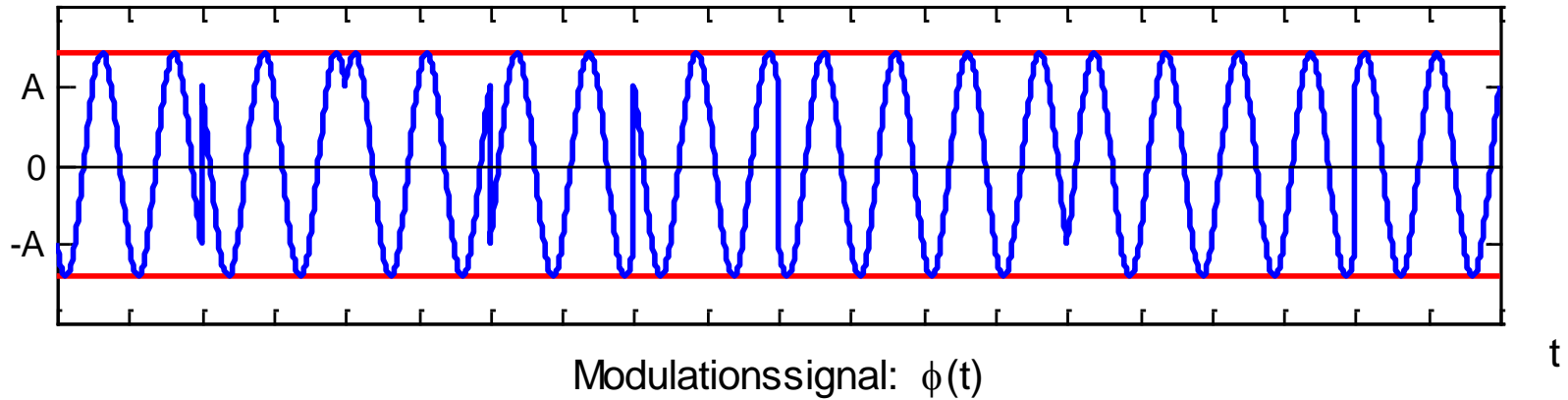
Träger: Q-Komponente  $y_q(t) = -q(t) \cdot \sin(2\pi f_0 t)$



0 1 2 3 4 5 6 7 8 9 10 11 12 13 14 15 16 17 18 19 20

# QAM-Summensignal interpretiert as QPSK

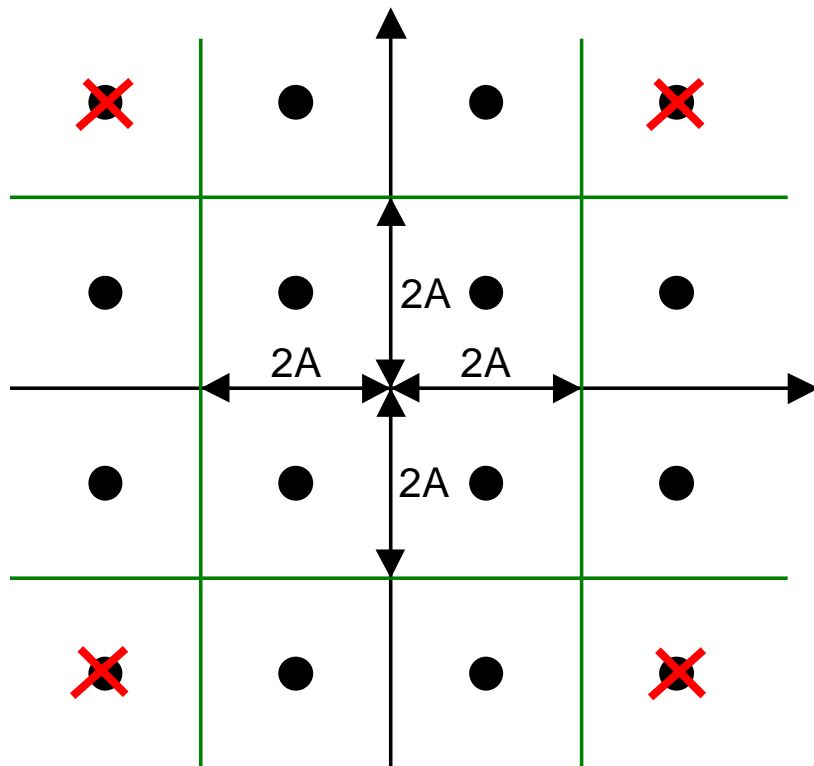
$$\text{QAM-Signal: } y(t) = y_i(t) + y_q(t) = i(t) \cdot \cos(2\pi f_0 t) - q(t) \cdot \sin(2\pi f_0 t)$$



$$S = 2A^2$$

# 16-QAM

## Optionales Powershaping



$$S = \frac{1}{4} (2A^2 + 10A^2 + 10A^2 + 18A^2) = 10A^2$$

16-QAM: 4 Bit/Symbol

64-QAM: 6 Bit/Symbol

256-QAM: 8 Bit/Symbol

1024-QAM: 10 Bit/Symbol

4096-QAM: 12 Bit/Symbol

16384-QAM: 14 Bit/Symbol